7 2018 年から 2024 年に検出された牛 A 群ロタウイルスの分子疫学解析

県央家畜保健衛生所 関野惣介、湯澤裕史

はじめに

牛ロタウイルス A 感染症は、A 群ロタウイ ルス(GAR)による、下痢を主訴とする疾病であ る。1~2週齢の新生子牛で発生が多く、当県 においても子牛の下痢糞便から GAR が最も高 頻度に検出されている。症状は黄色の水様性 下痢であり、死亡率は 0~50%と報告されて いる¹⁾。また、GAR はレオウイルス科に属し、 11本の分節した2本鎖RNAをゲノムとして保 有している。血清型抗原は外殻蛋白質の VP7 と VP4 に存在し、VP7 及び VP4 の抗原性によ る血清型をG型及びP型と呼び¹⁾、それぞれ の遺伝子型から各株を GXP[X]と表記するの が通例である2)。予防には母子免疫を利用し たワクチンが使用されているが、特定の遺伝 子型の株をもとに作られているため、効果が 限定的である可能性がある 3)。さらに、当県 における流行株の遺伝子型は調査されておら ず、流行状況も不明である。そこで、県内に おける GAR の遺伝子型と流行状況を把握する ために、過去7年において病性鑑定で検出さ れた GAR の分子疫学解析を実施したので、概 要を報告する。

材料及び方法

1 材料

2018年2月から2024年3月に、下痢を主 訴とする病性鑑定の結果、GARが検出された 31農場33症例の糞便33検体を材料とした。 なお、33症例中3症例は同一農場であった。 品種は黒毛和種が19検体、ホルスタイン種が 10 検体、交雑種が 4 検体である。日齢は 30 日齢未満の子牛が 31 検体、9 か月齢の育成牛 が 1 検体、4 歳の成牛が 1 検体である。

2 方法

-80℃で保存していた 10%糞便乳剤上清から MagExtractor™-RNA- (東洋紡社)を用いて RNA を抽出し、VP7 遺伝子及び VP4 遺伝子を標的とした nested-RT-PCR 及び semi-nested-RT-PCR を実施した 4)。その後、それぞれの増幅産物を用いて、ダイレクトシークエンス法により塩基配列を決定した。得られた塩基配列は GenBank から収集した既知の GAR 株の塩基配列とともに、フリーソフトの MEGA7(www. megasoftware. net)で整列化し、Neighbor-joining 法によって分子系統樹を作成することで、遺伝子型を判定した。

結果

分子系統樹解析の結果、VP7 遺伝子については、G6 及び G10 に分類された (図 1)。なお、1 株のみ PCR で増幅されなかったため、分類不明の GX とした。VP4 遺伝子については、多くは P[5] 及び P[11] に分類されたが、1 株ずつのみ P[14] 及び P[29] に分類された(図 2)。そして、各株を遺伝子型ごとに分類した結果、G6P[5]、G6P[11]、G10P[11]、G6P[14]、GXP[29] の 5 種類に分類され、うち G6P[5]、G6P[11]、G10P[11]の 3 種類が主に検出され、計 94%を占めた(表 1)。また、1 株ずつのみ検出された G6P[14]、GXP[29] の 2 株は、それぞれ成牛及び育成牛下痢便から検出された。

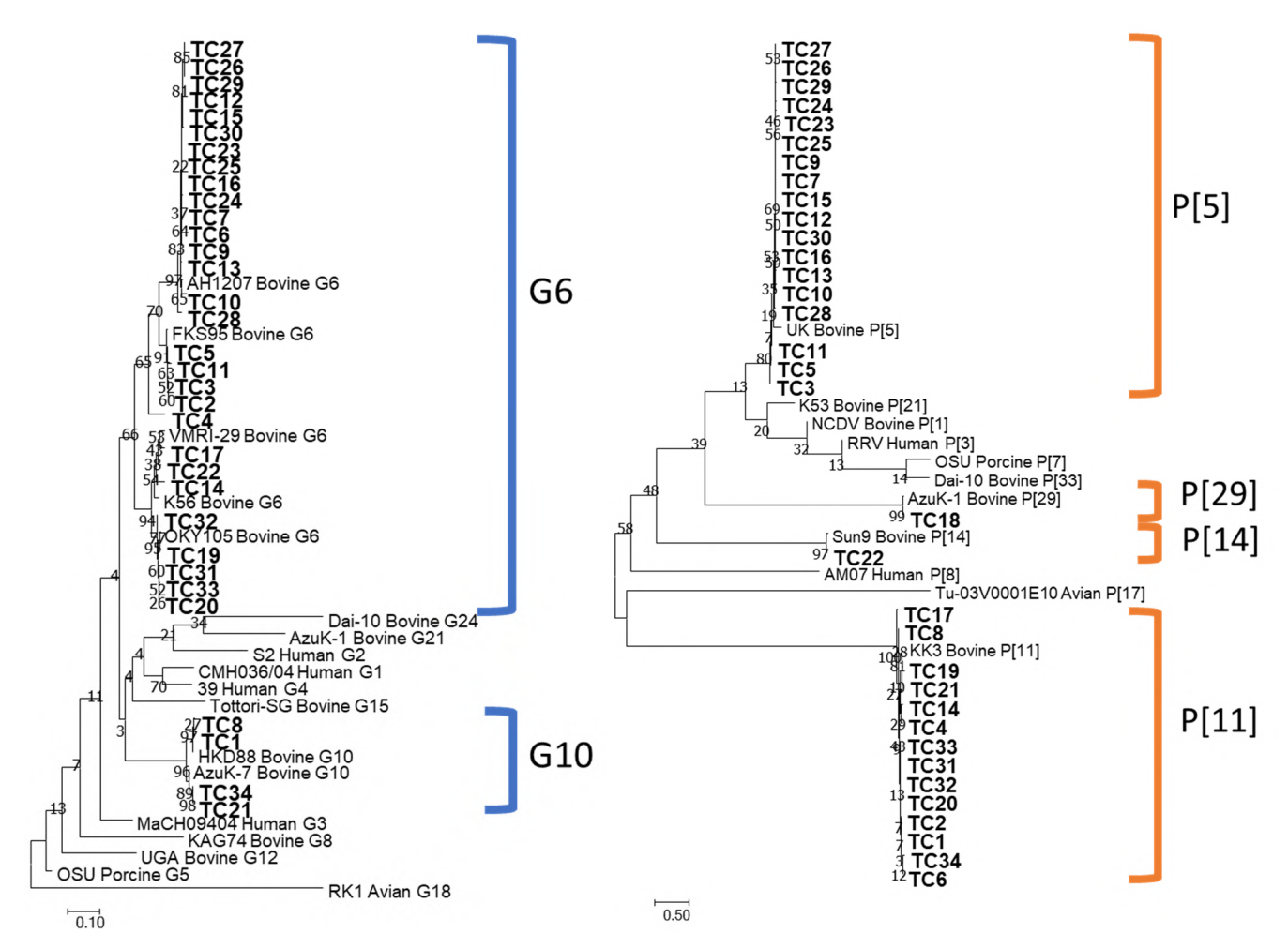


図1 VP7 遺伝子(729bp)の分子系統樹

表1 品種ごとの遺伝子型分類

遺伝子型	黒毛和種	ホルスタイン種	交雑種	計
G6P[5]	16	0	2	18(55%)
G6P[11]	0	7	2	9(27%)
G10P[11]	2	2	0	4(12%)
G6P[14]	0	1	0	1(3%)
GXP[29]	1	0	0	1(3%)
計	19	10	4	33

また、品種ごとの遺伝子型を確認すると黒 毛和種では G6P[5]が、ホルスタイン種では G6P[11]が多く検出され、品種により流行株の 遺伝子型が異なっていた (表 1)。

さらに、VP4 遺伝子については同一遺伝子

図 2 VP4 遺伝子(587bp)の分子系統樹

型内で塩基配列の差異がほとんど認められなかったが、VP7遺伝子については、同一遺伝子型内でもいくつかのクラスターを形成していた。そのため、新たにG6内のクラスターをG6a~e、G10内のクラスターをG10a、bと分類し(図3)、各株を例のように表記した(例:G6aP[5])。そして、遺伝子型だけでなく、G型のクラスターも加味して分類した各株を、採材年毎に表へまとめた(表2)。その結果、G6P[5]、G6P[11]、G10P[11]の3種類は、さらに計9種類に分類され、表2のとおり、同じ遺伝子型でも1~4年で新しいクラスターの株に置き換わっていた。

なお、G6eP[11]のうち同一農場から検出さ

れた株であり、それぞれ 2021 年 11 月、2023 年 12 月、2024 年 1 月に採材された 3 株は、 VP7 遺伝子及び VP4 遺伝子の塩基相同性が 99%以上一致していた。

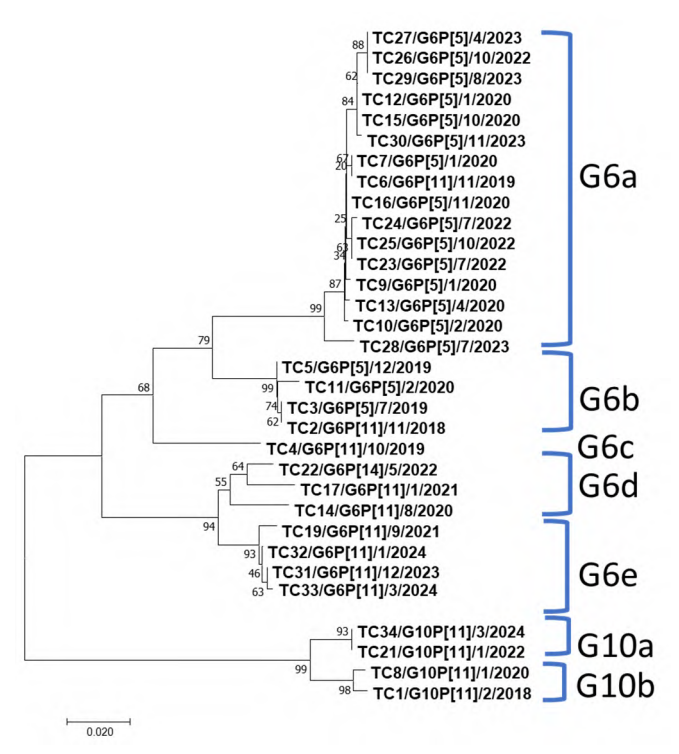


図3 VP7遺伝子のクラスター分類 (参考株を除いた県内株のみ)

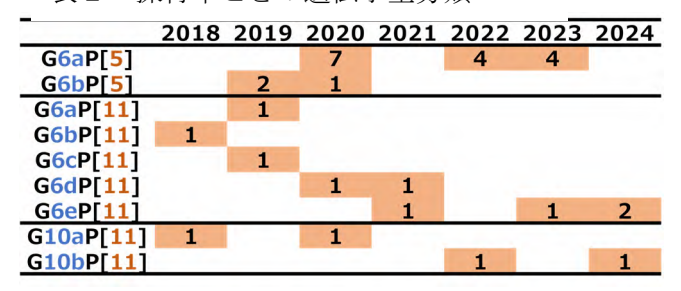


表2 採材年ごとの遺伝子型分類

考察

各株を遺伝子型分類した結果、G6P[5] 、G6P[11]、G10P[11]の3種類が優位に検出された。これらは他県の報告でも多く検出されて

いる遺伝子型であり 5,6,7)、ワクチンが有効な 遺伝子型である⁸⁾。したがって、県内牛 GAR の予防に現行のワクチンが効果的であること が確認された。一方、1株ずつのみ、成牛及び 育成牛から検出された G6P[14]、GXP[29]はま れな遺伝子型であり、ワクチンの効果が期待 できない遺伝子型である5。なお、国内の報 告では、G6P[14]と同じ P[14]の株は、 子牛 の正常便から検出された G8P[14]の Sun9 株 9) 及び、成牛下痢便から検出された G15P[14]の Tottori-SG 株 10)のみであり、GXP [29] と同じ P[29]の株は、成牛下痢便から検出された G21P[29]の Tak2 株 11)及び子牛正常便から検 出された G21P[29]の Azu-1 株 4)のみである。 このようにまれな遺伝子型である P[14]及び P[29]の検出例 3 例ずつのうち 2 例が育成牛 及び成牛の下痢便から検出されている。した がって、育成牛及び成牛の GAR 感染症の発生 要因には、まれな遺伝子型に対して免疫を獲 得していないことが考えられた。

また、黒毛和種では G6P[5]が、ホルスタイン種では G6P[11]が多く検出され、これは他県の報告でも同様である 7,80。品種によって遺伝子型の偏りが生じているのは、品種によって、遺伝子型に対する感受性が異なる可能性も考えられるが、他県では、黒毛和種からG6P[11]が、ホルスタイン種から G6P[5]が検出された例もあるため 7,80、遺伝子型に対する感受性の差異によるものではなく、飼養形態や流通の相違が関与していると推測され、導入牛や預託戻り牛などが主な侵入経路であると考えられた。

さらに、VP7 領域を細分類化したところ、 県内の検出株が 1~4 年で新しいクラスター の株に置き換わっていた。また、ヒト GAR の 国内流行株においても、同様に複数のクラス ターの株が数年単位で入れ替わるように流行 しており¹²⁾、一度発生しても、数年後に新し い株が農場内に侵入するリスクがあると推測 された。

一方、同一農場で検出された3株が2年程度の間隔が空いてもVP7遺伝子及びVP4遺伝子の塩基相同性が99%以上一致していたことから、農場内に一度GARが侵入すると長期に残存する可能性も考えられた。本農場は酪農場であり、2年の間に母牛の多くが更新され、本株に対する移行抗体が付与された子牛の減少が再発原因の1つと推測された。

本調査により GAR 対策として、主な感染経路と考えられた導入牛や預託戻り牛の隔離による侵入防止に加え、発生農場においては敷き藁や牛床の洗浄消毒などによる再発防止対策の重要性が再認識された。また、県内検出株の多くは、ワクチンが有効な遺伝子型であることから、ワクチン接種は発症予防に効果的と考えられた。しかし、育成牛及び成牛においてワクチンの効果が期待できない遺伝子型の株も一部検出されたほか、数年単位で新しい株が県内に侵入している傾向も認められたことから、今後も調査を継続し、GARの動態解明と発生予防に寄与したい。

参考文献

- 恒光裕:ロタウイルス病,獣医伝染病学, 清水悠紀臣編〈第5版〉,97-99,近代出 版,(2000)
- 2) 小 林 宣 道,浦 澤 正 三:特集1:胃 腸炎ウイルス 1. ロタウイルス.ウイル ス 50(2),157-172, (2000)
- 3) 岡田伸隆: 母牛へのワクチネーションに よる子牛下痢症に対する効果の実際, 日 本家畜臨床感染症研究会誌, 4, 61-66,

(2009)

- 4) Masako Abe *et al.*: Molecular epidemiology of rotaviruses among healthy calves in Japan: Isolation of a novel bovine rotavirus bearing new P and G genotypes. Virus Research, 144, 250-257, (2009)
- 5) Nobutaka Okada, Yuichi Matsumoto:
 Bovine rotavirus G and P types and sequence analysis of the VP7 gene of two G8 bovine rotaviruses from Japan.
 Veterinary Microbiology, 84, 297-305, (2002)
- 6) Katsuhiko Fukai *et al.*: Changes in the prevalence of rotavirus G and P types in diarrheic calves from the Kagoshima prefecture in Japan.

 Veterinary Microbiology, 86, 343-349, (2002)
- 7) Koki Odagiri et al.: Development of
 Genotype-Specific Anti-Bovine
 Rotavirus A Immunoglobulin Yolk
 Based on a Current Molecular
 Epidemiological Analysis of Bovine
 Rotaviruses A Collected in Japan
 during 20172020. Viruses, 12, 1386, (2020)
- 8) 新地英俊: 牛ロタウイルス感染症 3 価・ 牛コロナウイルス感染症・牛大腸菌性下 痢症(K99 精製線毛抗原)混合(アジュ バント加) 不活化ワクチン,動物用ワク チン,88-92, 文永堂出版株式会 社,(2011)
- 9) Katsuhiko Fukai *et al.*: Molecular characterization of novel P[14], G8 bovine group A rotavirus, Sun9,

- isolated in Japan. Virus Research, 105, 1, 15, 101-106, (2004)
- 10) Tsuneyuki Masuda et al.:

 Identification of novel bovine group
 A rotavirus G15P[14] strain from
 epizootic diarrhea of adult cows by
 de novo sequencing using a nextgeneration sequencer. Veterinary
 Microbiology, 171, 66-73, (2014)
- 11) Katsuhiko Fukai *et al.*: Molecular characterization of a novel bovine group A rotavirus. Veterinary Microbiology, 123, 217-224, (2007)
- 12) 藤井克樹: ロタウイルス流行株の変遷. ウイルス, 73, 1, 33-44, (2023)